

Starkniederschlagshöhen und -spenden gemäß KOSTRA-DWD-2010R

Auswertungszeitraum von 1951 - 2010, Januar - Dezember

Rasterfeld: 36027

Zeile: 36

Spalte: 27

Seite: 1/2

| Dauerstufe D | Wiederkehrzeit T | | | | | | | | | | | | | | | | | | |
|--------------|------------------|------|------------|------|------------|------|------------|------|------------|------|------------|------|------------|------|------------|------|------------|------|------------|
| | 1 a | | 2 a | | 3 a | | 5 a | | 10 a | | 20 a | | 30 a | | 50 a | | 100 a | | |
| min | Std | mm | l / (s ha) | mm | l / (s ha) | mm | l / (s ha) | mm | l / (s ha) | mm | l / (s ha) | mm | l / (s ha) | mm | l / (s ha) | mm | l / (s ha) | mm | l / (s ha) |
| 5 | | 4,6 | 153,3 | 6,2 | 206,7 | 7,1 | 236,7 | 8,2 | 273,3 | 9,7 | 323,3 | 11,2 | 373,3 | 12,1 | 403,3 | 13,3 | 443,3 | 14,8 | 493,3 |
| 10 | | 7,4 | 123,3 | 9,5 | 158,3 | 10,8 | 180,0 | 12,3 | 205,0 | 14,4 | 240,0 | 16,5 | 275,0 | 17,7 | 295,0 | 19,3 | 321,7 | 21,4 | 356,7 |
| 15 | | 9,3 | 103,3 | 11,8 | 131,1 | 13,3 | 147,8 | 15,2 | 168,9 | 17,7 | 196,7 | 20,2 | 224,4 | 21,7 | 241,1 | 23,6 | 262,2 | 26,1 | 290,0 |
| 20 | | 10,6 | 88,3 | 13,5 | 112,5 | 15,2 | 126,7 | 17,3 | 144,2 | 20,2 | 168,3 | 23,1 | 192,5 | 24,8 | 206,7 | 26,9 | 224,2 | 29,8 | 248,3 |
| 30 | | 12,4 | 68,9 | 15,9 | 88,3 | 17,9 | 99,4 | 20,5 | 113,9 | 24,0 | 133,3 | 27,4 | 152,2 | 29,5 | 163,9 | 32,0 | 177,8 | 35,5 | 197,2 |
| 45 | | 14,0 | 51,9 | 18,2 | 67,4 | 20,6 | 76,3 | 23,7 | 87,8 | 27,9 | 103,3 | 32,1 | 118,9 | 34,5 | 127,8 | 37,6 | 139,3 | 41,8 | 154,8 |
| 60 | | 14,9 | 41,4 | 19,7 | 54,7 | 22,5 | 62,5 | 26,0 | 72,2 | 30,8 | 85,6 | 35,6 | 98,9 | 38,4 | 106,7 | 41,9 | 116,4 | 46,7 | 129,7 |
| 90 | | 16,2 | 30,0 | 21,2 | 39,3 | 24,2 | 44,8 | 27,9 | 51,7 | 32,9 | 60,9 | 38,0 | 70,4 | 40,9 | 75,7 | 44,7 | 82,8 | 49,7 | 92,0 |
| 120 | 2 | 17,1 | 23,8 | 22,4 | 31,1 | 25,4 | 35,3 | 29,3 | 40,7 | 34,5 | 47,9 | 39,8 | 55,3 | 42,9 | 59,6 | 46,7 | 64,9 | 52,0 | 72,2 |
| 180 | 3 | 18,6 | 17,2 | 24,1 | 22,3 | 27,3 | 25,3 | 31,4 | 29,1 | 37,0 | 34,3 | 42,5 | 39,4 | 45,7 | 42,3 | 49,8 | 46,1 | 55,3 | 51,2 |
| 240 | 4 | 19,7 | 13,7 | 25,4 | 17,6 | 28,8 | 20,0 | 33,0 | 22,9 | 38,8 | 26,9 | 44,5 | 30,9 | 47,9 | 33,3 | 52,1 | 36,2 | 57,9 | 40,2 |
| 360 | 6 | 21,3 | 9,9 | 27,4 | 12,7 | 31,0 | 14,4 | 35,4 | 16,4 | 41,5 | 19,2 | 47,6 | 22,0 | 51,1 | 23,7 | 55,6 | 25,7 | 61,6 | 28,5 |
| 540 | 9 | 23,2 | 7,2 | 29,6 | 9,1 | 33,3 | 10,3 | 38,0 | 11,7 | 44,4 | 13,7 | 50,8 | 15,7 | 54,6 | 16,9 | 59,3 | 18,3 | 65,7 | 20,3 |
| 720 | 12 | 24,5 | 5,7 | 31,2 | 7,2 | 35,1 | 8,1 | 40,0 | 9,3 | 46,6 | 10,8 | 53,3 | 12,3 | 57,2 | 13,2 | 62,1 | 14,4 | 68,7 | 15,9 |
| 1080 | 18 | 26,6 | 4,1 | 33,6 | 5,2 | 37,7 | 5,8 | 42,9 | 6,6 | 49,9 | 7,7 | 56,9 | 8,8 | 61,0 | 9,4 | 66,2 | 10,2 | 73,2 | 11,3 |
| 1440 | 24 | 28,2 | 3,3 | 35,5 | 4,1 | 39,7 | 4,6 | 45,1 | 5,2 | 52,4 | 6,1 | 59,7 | 6,9 | 63,9 | 7,4 | 69,3 | 8,0 | 76,6 | 8,9 |
| 2880 | 48 | 35,8 | 2,1 | 43,6 | 2,5 | 48,2 | 2,8 | 53,9 | 3,1 | 61,8 | 3,6 | 69,6 | 4,0 | 74,2 | 4,3 | 79,9 | 4,6 | 87,8 | 5,1 |
| 4320 | 72 | 41,1 | 1,6 | 49,2 | 1,9 | 54,0 | 2,1 | 60,0 | 2,3 | 68,2 | 2,6 | 76,3 | 2,9 | 81,1 | 3,1 | 87,1 | 3,4 | 95,2 | 3,7 |

Angaben in mm: Bemessungsniederschlagswerte h(n)

Angaben in l / (s ha): Regenspende R(n) mit $R(n) = h(n) \times 1,666667 / D[\text{min}]$

Toleranzbereiche:

+/- 10 % für $1 \text{ a} \leq T \leq 5 \text{ a}$

+/- 15 % für $5 \text{ a} < T \leq 50 \text{ a}$

+/- 20 % für $50 \text{ a} < T \leq 100 \text{ a}$

Datenbasis: KOSTRA-DWD-2010R des Deutschen Wetterdienstes. Die Regenspende wurde auf Basis des Bemessungsniederschlags zur jeweiligen Andauer berechnet.

Für die Richtigkeit und Aktualität der Angaben wird keine Gewähr übernommen. Erstellt 07/2022.

Starkniederschlagshöhen und -spenden gemäß KOSTRA-DWD-2010R

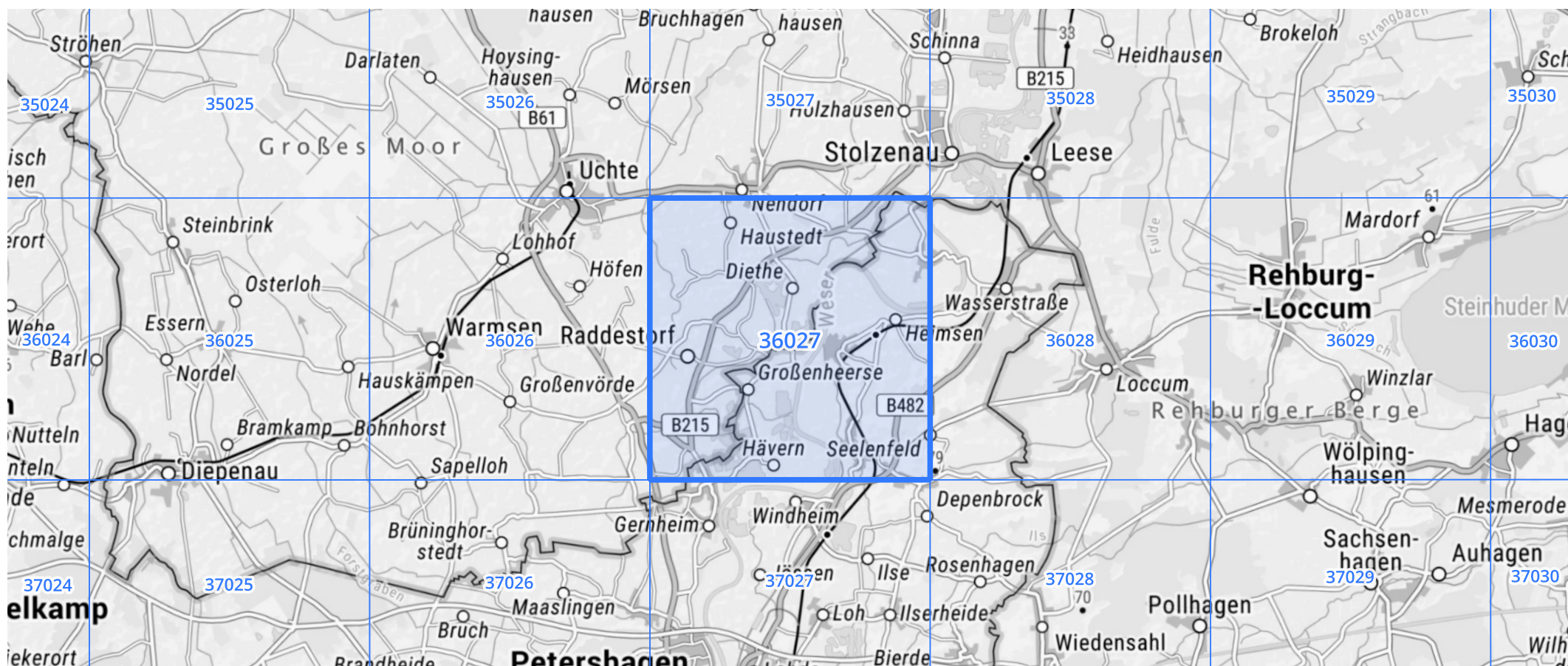
Auswertungszeitraum von 1951 - 2010, Januar - Dezember

Rasterfeld: 36027

Zeile: 36

Spalte: 27

Seite: 2/2



Quelle Rasterdaten: KOSTRA-DWD-2010R des Deutschen Wetterdienstes.

Kartendarstellung: © Bundesamt für Kartographie und Geodäsie (2022), Datenquellen: https://sgx.geodatenzentrum.de/web_public/gdz/datenquellen/Datenquellen_TopPlusOpen.html

Für die Richtigkeit und Aktualität der Angaben wird keine Gewähr übernommen. Erstellt 07/2022.